

日本鋼管㈱技術研究所 正員 ○大石 博
 日本鋼管㈱技術研究所 正員 関口 宏二

1. まえがき

沈埋トンネルの地震時挙動，特に地震時発生ひずみの把握のため，扇島沈埋トンネルにおいて，1975年3月より地震観測を実施している。今までに，数多くの地震波を観測しているが，ここでは，震源がほぼ同じで，マグニチュードが異なる二つの地震，1976年6月16日地震（震源地：N35.5°，E138.9°，M=5.5 以下山梨県東部地震と記す）と1983年8月8日地震（震源地：N35.5°，E139.0°，M=6.1 以下 神奈川県西部地震と記す）における地震時発生ひずみの差異について考察することにする。

2. トンネルの概要と地震観測体制

扇島沈埋トンネルは，全長1540mで，このうち，運河部の664mを，沈埋工法で施工されている。沈埋エレメントは，3径間箱型断面の鋼殻エレメント6基よりなっており，その寸法は，幅21.6m×高さ6.9m×長さ110mである。図1に，トンネル断面および計器配置を示す。本論文においては，J地点のG.L.-60m G.L.0mの加速度計および，断面D，E，F，Hのひずみ計より取得された波形を，用いている。

3. 周辺地盤の地震時挙動および沈埋トンネル地震発生ひずみ

図2・3に，山梨県東部地震，神奈川県西部地震におけるトンネル軸方向の加速度波形・速度波形を示す。両地震とも，記録の初期において，短周期の波形が優勢であるが，15～20秒以後は，周期1～2秒の波形が卓越している。また，神奈川県西部地震におけるG.L.0mの速度波形は，継続時間中において，絶対値の大きな変化を示していない。図4・5に，両地震におけるG.L.-60mとG.L.0mの加速度波形のクロススペクトルを示す。両地震とも，0～1Hzにおいて，0.6Hzと0.8～0.9Hzにピークを有している。0.8～0.9Hzは，地盤の一次固有周期に対応するものである。なお，山梨県東部地震においては，0.6Hzのピークの方が，地盤の一次固有周期に対応するピークより，絶対値は小さいが，神奈川西部地震においては，0.6Hzのピークの方が，その絶対値は大きい。また，G.L.-60mとG.L.0mの加速度波形より求めた位相速度（相互相関関数による）は，両地震とも，222m/secであり，地盤の平均的S波速度に近いが，0.7～0.8Hzより低振動数の波形に関する位相速度は，山梨県東部地震の場合 ∞ m/secであり，神奈川県西部地震の場合500m/secとなるので，0.6Hzのピークは，表面波的波動であることが推定される。

図6に，山梨県東部地震における断面D，F，Hの軸ひずみ，曲げひずみ波形を，図7に，神奈川県西部地震における断面E，F，Hの軸ひずみ，曲げひずみ波形を示す。軸ひずみに関しては，立坑に接している断面Hにおいて大きく，断面Dにおいて小さい。曲げひずみに関しては，軸ひずみほど，測定断面の差異による大きさの変化はない。なお，断面Hにおける曲げひずみは，軸ひずみの1/4程度である。また，図6・7における断面Hの軸ひずみ波形は，図2・3に示したG.L.0mの速度波形と，特に，15秒以後においてよく類似している。

図8・9に，両地震における断面Hの軸ひずみ波形とG.L.0mの軸方向速度波形のパワースペクトルを示す。両者のスペクトル形状およびピーク値は，よく一致している。また，マグニチュードがより大きい神奈川県西部地震においては，軸ひずみ波形のパワースペクトルの0.6Hz周辺のパワーが，0.9Hz周辺のパワーより大きく，マグニチュードがより小さい山梨県東部地震においては，逆に，軸ひずみ波形のパワースペクトルの0.6Hz周辺のパワーは，0.8Hz周辺のパワーより小さい。このことは，マグニチュードの大きい地震ほど，表面波的波動により発生するひずみが，大きくなることを，物語っている。

つまり，沈埋トンネルの耐震設計においては，実体波成分のみならず，表面波成分をも考慮する必要があると思われる。

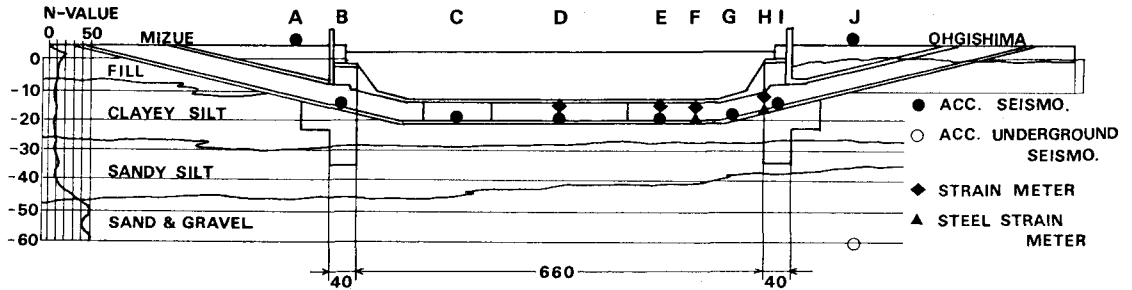


図1 扇島沈埋トンネル地震観測計器設置図

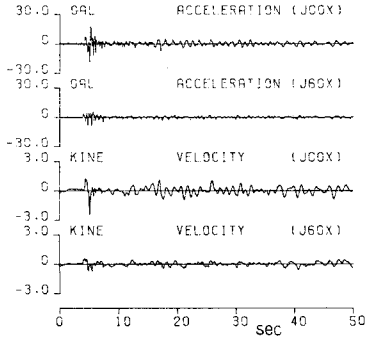


図2 加速度・速度波形(1976.6.16)

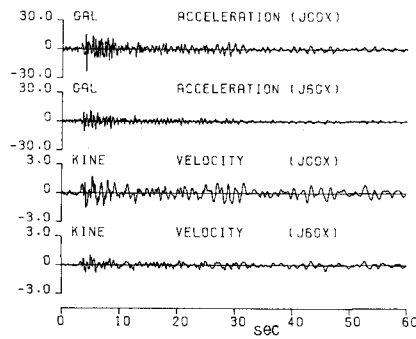


図3 加速度・速度波形(1983.8.8)

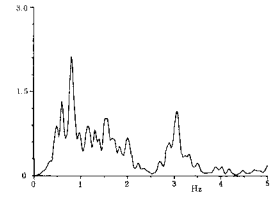


図4 G.L.-60m, G.L.0 m軸方向加速度波形のクロススペクトル(1976.6.16)

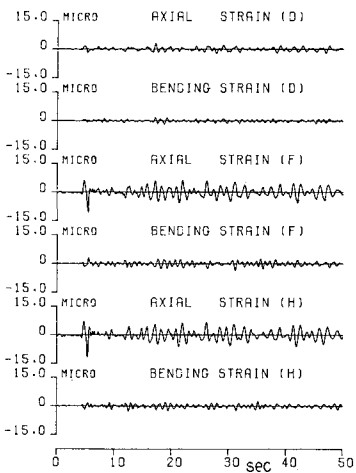


図6 ひずみ波形(1976.6.16)

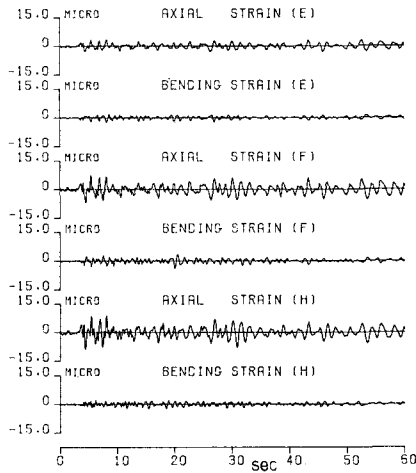


図7 ひずみ波形(1983.8.8)

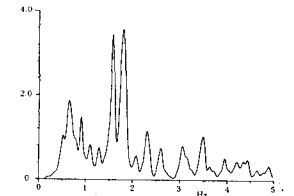


図5 G.L.-60m, G.L.0 m軸方向加速度波形のクロススペクトル(1983.8.8)

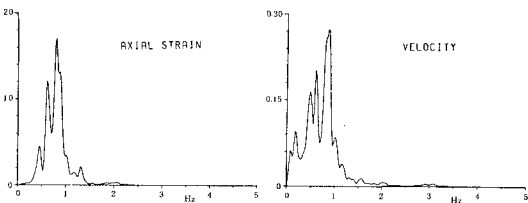


図8 軸ひずみ・速度波形のパワースペクトル(1976)

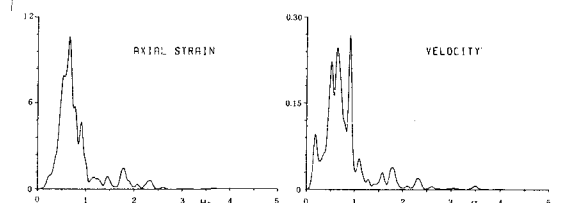


図9 軸ひずみ・速度波形のパワースペクトル(1983)